

آنالیز مسیرگشترش ترک در محیط‌های همگن دو بعدی

با استفاده از روش اجزاء محدود

علی اکبر آقا کوچک

استادیار بخش مهندسی عمران - دانشگاه تربیت مدرس

جواد واقفی امیری

فوق لیسانس سازه - دانشگاه تربیت مدرس

چکیده:

در این مقاله روشی جهت آنالیز مسیرگشترش ترک در یک محیط همگن دو بعدی با استفاده از تئوری های مکانیک شکست خطی و روش اجزاء محدود پیشنهاد گردیده است. در ابتدا با استفاده از المان مخصوص، جسم ترک خورده آنالیز تنش شده و میدان تنش در حوالی رأس ترک و ضرائب شدت تنش محاسبه گردیده اند. سپس براساس ضابطه شکست مینیمم دانسیته انرژی کرنشی، زاویه گشترش ترک و براساس رابطه پاریس نسبت رشد ترک برای حالت بارگذاری متناوب تعیین شده است. در نهایت با استفاده از این اطلاعات و به صورت قدم به قدم صفحه‌ای حاوی ترک مورب تحت بارگذاری هارمونیک با دامنه ثابت آنالیز گردیده و مسیر گشترش ترک معین شده است. پیش‌بینی‌های حاصل از این روش در هر بخش با نتایج موجود تجربی و یا حاصل از روش‌های تحلیلی مقایسه گردیده است.

Analysis of Crack Propagation Path in Two Dimensional Homogenous bodies Using The Finite Elemen Method

A.A. Agha Kouchak, Ph.D.

Assist Prof civil Eng. Dept.

J. Vaseghi Amiri

graduate student cical Eng. Dept
Tarbiat Modares Univ. Tehran - Iran

ABSTRACT

In this paper a method for analysis of crack growth path in a homogeneous two-dimensional body using the linear elastic fracture mechanics and the finite element methods is discussed. Initially stress analysis of the cracked body is carried out using the crack tip element and the stress field in the vicinity of the crack tip and the stress intensity factors are determined. Then the crack extension angle and the crack growth rate are calculated based on the minimum strain energy density

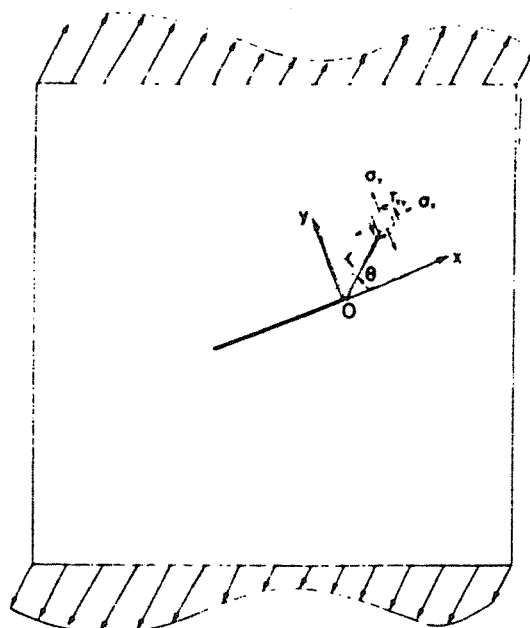
criterion and the Paris' law. Finally using these information in a step-by-step procedure, a plate containing an inclined crack subjected to a constant amplitude harmonic loading is analysed and the crack growth path is determined. The results of this method in each part are compared with the available experimental and theoretical results.

ترک را در صورت در دسترس بودن، پارامترهای مصالح مربوطه تعیین می‌نماید.

۱- ضابطه شکست مینیمم دانسیته انرژی کرنشی
 این ضابطه یکی از ضوابط شکست معتمد است که در مکانیک شکست الاستیک خطی کاربرد دارد و توسط شخصی به نام سی [۶-۷] پیشنهاد شده است. این تئوری توجه خود را به المانهای مجاور رأس ترک معطوف می‌دارد و از پارامتر فاکتور دانسیته انرژی کرنشی S در فاصله 2ε از راس ترک استفاده می‌کند که به وسیله رابطه زیر تعریف می‌گردد (شکل ۱)

$$S = r \frac{dw}{dv} \quad (1-1)$$

که 2ε فاصله شعاعی از راس ترک و $\frac{dw}{dv}$ انرژی کرنشی در واحد



شکل ۱ ترک تحت بارگذاری کلی که جهت مثبت $0, 0$ و نشها را نشان می‌دهد.

مقدمه:

سیاری از سازه‌ها، به واسطه نقایص اولیه ناشی از ساخت و یا به واسطه مرور زمان و اعمال بارهای متناوب، دارای ترکهای کوچک و یا بزرگ می‌باشند. این ترکها تحت شرایط خاصی و در اثر اعمال بارهای استاتیکی و یا بارهای متناوب، ممکن است منجر به شکست فاجعه آمیز سازه شوند. شاخه‌ای از علم که به بررسی تحلیلی این موضوع می‌پردازد مکانیک شکست می‌باشد که به دو قسمت مکانیک شکست الاستیک خطی و مکانیک شکست الاستوپلاستیک تقسیم می‌گردد. مکانیک شکست الاستیک خطی برای شکست ترد و مکانیک شکست الاستوپلاستیک، برای حالتی که منطقه پلاستیک رأس ترک، قابل ملاحظه باشد کاربرد دارد.

در بررسی مسئله گسترش ترک، اولین چیزی که لازم است، انتخاب یک ضابطه شکست می‌باشد که براساس آن، پارامترهای لازم در مسئله شکست، نظری باربحاری و زاویه گسترش ترک تعیین می‌گردد. در کلیه ضوابط شکستی که در مکانیک شکست الاستیک خطی وجود دارد، تعیین میدان تش با تغییر مکان در مجاورت رأس ترک الزامی است. دقیق ترین روش برای این عمل، روش تحلیلی است که از توابع تش کمک می‌گیرد، اما بدلیل اینکه، تعیین تابع تش، تنها برای اشکالی با هندسه و بارگذاری ساده امکان پذیر است کاربرد این روش نیز به این حالت محدود می‌گردد. عمومی ترین روش برای آنالیز سازه‌ای با شرایط سرحدی و بارگذاری مختلف، روش اجزاء محدود می‌باشد لیکن المانهای معمولی که در برنامه‌های کامپیوتری مورد استفاده قرار می‌گیرند قادر به مدل کردن صحیح تغییرات تش در مجاورت رأس ترک نیستند. برای حل این تقیصه، المانی به نام المان مخصوص رأس ترک معرفی شده است [۱] که می‌تواند میدان تش در مجاورت رأس ترک را بدقت خوبی بیان نماید. آنچه که در این مقاله بحث می‌گردد تئوری و نتایج برنامه‌ای است که اخیراً به زبان فرترن در دانشگاه تربیت مدرس تهیه شده است و با استفاده از روش اجزاء محدود و المان مخصوص رأس ترک، قادر است هر جسم دو بعدی حاوی ترک را به صورت الاستیک آنالیز نماید. این برنامه در ادامه کار، با بهره گیری از ضابطه شکست مینیمم دانسیته انرژی کرنشی، زاویه گسترش ترک، بار بحرانی و نسبت رشد ترک و نهایتاً مسیر گسترش

حجم می‌باشد.

برای حالت دوبعدی (تشصفه‌ای یا کرنشصفه‌ای) مقدار $\frac{dw}{dv}$ برابر خواهد شد با:

$$\frac{dw}{dv} = \frac{1}{4\mu} [\frac{k+1}{4} (\sigma_x + \sigma_y)^2 - 2(\sigma_x \sigma_y - \tau_{xy}^2)] \quad (2-1)$$

که در روابط بالا، μ مدول الاستیسیته برشی و σ_x و σ_y و τ_{xy} پارامتری مولفه‌های تش در مجاورت رأس ترک می‌باشد. نیز پارامتری است که برای تشصفه‌ای و کرنشصفه‌ای به شرح زیر می‌باشد $k = 3-4\nu$ برای کرنشصفه‌ای و $(1+\nu)/(1+\nu)$ برای تشصفه‌ای که در این روابط، ν ضریب پواسون ماده می‌باشد.

قضایای اساسی در این تئوری عبارتند از:

قضیه ۱ - وقتی که در اثر بارگذاری بر روی جسم، حداقل مقدار فاکتور دانسیته انرژی کرنشی در ناحیه رأس ترک (S_{min}) به مقدار بحرانی خود (S_{cr}) که ثابت مصالح است برسد، شکست اتفاق می‌افتد.

قضیه ۲ - جهت شکست اولیه، به سمت نقطه‌ای است که فاکتور دانسیته انرژی کرنشی در مقایسه با بقیه نقاط حداقل باشد.

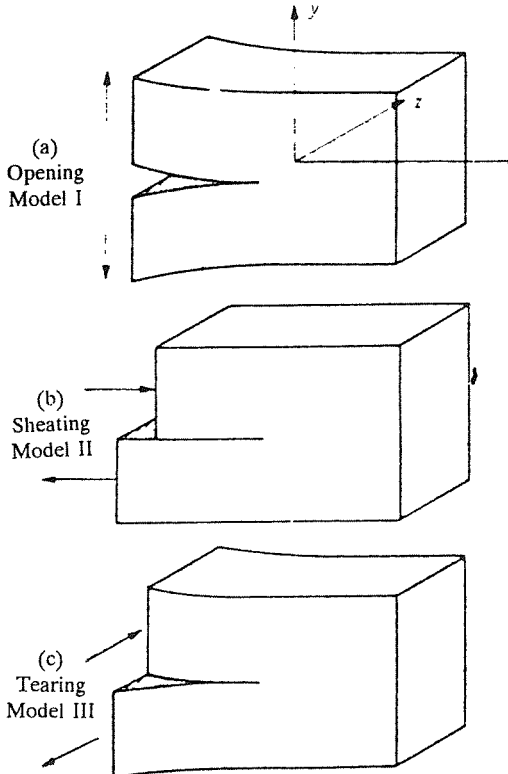
با توجه به مطالعات فوق، مشخص می‌گردد که اولاً برای استفاده از خواص شکست مینیمم دانسیته انرژی کرنشی، تعیین میدان تش در مجاورت رأس ترک الزامی است. ثانیاً با استفاده از قضایایی که در این خواص بارگذاری و زاویه گسترش ترک را می‌توان به دست آورد.

۲- میدان تش در مجاورت رأس ترک

یک ترک در فضای سه بعدی، به سه صورت مستقل می‌تواند تحت تش قرار گیرد و در نتیجه سطوح ترک نیز سه نوع حرکت مستقل نسبت به یکدیگر می‌توانند داشته باشند که هر حرکتی از ترک را می‌توان به صورت ترکیب خطی از این حالتها نشان داد. این حرکت‌های سینماتیک در شکل ۲ نشان داده شده است. حال اگر میدان تش را برای هر یک از این حالتها بدست آوریم، برای حالت کلی، از ترکیب خطی این مودها می‌توان استفاده نمود. در مسائل دو بعدی که موضوع بحث این مقاله است مود سوم حرکت ترک دیگر مطرح نیست.

روابطی که با استفاده از توابع تش مختلط و سترگارد و ماسکلیشویلی برای میدان تش در مجاورت رأس ترک، تحت بارگذاری کلی به دست آمده‌اند به صورت زیر می‌باشد [۵].

$$\begin{aligned} \sigma_x &= \frac{k_l}{(2\pi r)^{1/2}} \cos \frac{\theta}{2} (1 - \sin \frac{\theta}{2} \sin \frac{3\theta}{2}) \\ &- \frac{k_{ll}}{(2\pi r)^{1/2}} \sin \frac{\theta}{2} (2 + \cos \frac{\theta}{2} \cos \frac{3\theta}{2}) \end{aligned} \quad (1-2)$$



شکل ۲ حرکت سینماتیک ترک در فضای سه بعدی. a. بازشدن سطح ترک b. لغزش برشی سطح ترک c. حرکت پیچشی سطح ترک

$$\sigma_y = \frac{k_l}{(2\pi r)^{1/2}} \cos \frac{\theta}{2} (1 + \sin \frac{\theta}{2} \sin \frac{3\theta}{2})$$

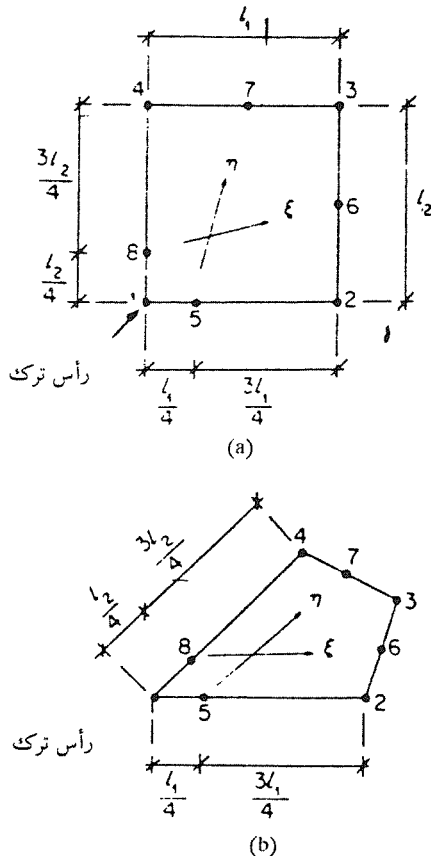
$$+ \frac{k_{ll}}{(2\pi r)^{1/2}} \sin \frac{\theta}{2} \cos \frac{\theta}{2} \cos \frac{3\theta}{2}$$

$$\tau_{xy} = \frac{k_l}{(2\pi r)^{1/2}} \cos \frac{\theta}{2} \sin \frac{\theta}{2} \cos \frac{3\theta}{2} + \frac{k_{ll}}{(2\pi r)^{1/2}} \cos \frac{\theta}{2}$$

$$(1 - \sin \frac{\theta}{2} \sin \frac{3\theta}{2})$$

که r و θ مختصات قطبی نقطه مورد نظر می‌باشد و در شکل ۱ مشخص شده است. همانطور که از روابط فوق بر می‌آید با نزدیک شدن به رأس ترک، یعنی کوچک شدن θ ، مقادیر تش‌ها به شدت بزرگ شده و به اصطلاح سینگولار می‌گردند. با استفاده از روابط (۱-۱) تا (۱-۳) فاکتور دانسیته انرژی کرنشی S به صورت زیر تغییر خواهد یافت.

$$S = a_{11}K_l^2 + 2a_{12}K_lK_{ll} + a_{22}K_{ll}^2 \quad (2-2)$$



شکل ۴ المان ایزوپارامتریک رأس ترک a- در مختصات محلی b- در مختصات اصلی

ترک، از وسط ضلع به یک چهارم آن و نزدیک به رأس ترک منتقل می‌شوند. این امر سبب می‌گردد تا با استفاده از همان توابع شکل المان معمولی ایزوپارامتریک، کرنش و نهایتاً تنش در رأس ترک سینگولار گردد. توضیحات مربوط به فرمولاسیون این المان و برنامه‌ای که براساس آن تهیه شده است در مرجع [۱] آمده است. شکل ۵، توزیع تنش در مجاورت رأس ترک را که با استفاده از این المان برای یک صفحه مستطیلی، تحت تنش کششی به دست آمده است را بانتایح حل تئوریک و نتایج المان معمولی ۸ گره‌ای مقایسه می‌کند. لازم به ذکر است که المان بندی صفحه در هر دو حالت دقیقاً یکسان بوده است.

شکل ۶، نتایج فاکتور شدت تنش حاصل از برنامه را که برای ترکهایی با زوایای مختلف β در یک صفحه با عرض زیاد و تحت تنش یکنواخت کششی به دست آمده است را بنتایح حل تئوریک مقایسه می‌کند (β زاویه بین محور بار و محور ترک می‌باشد). اختلاف موجود بین این نتایج از ۳ تا ۷ درصد تغییر می‌کند که مقادیر واقعی اختلاف، کمتر از مقادیر بیان شده

که ضرایب (۱-۲) و (۲-۲) برابر هستند با:

$$16\pi\mu a_{11} = (1 + \cos\theta) (k - \cos\theta)$$

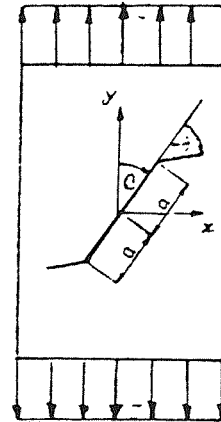
$$16\pi\mu a_{12} = \sin\theta [2\cos\theta - (k-1)] \quad (۳-۲)$$

$$16\pi\mu a_{22} = (k+1) (1-\cos\theta) + (1+\cos\theta) (3\cos\theta-1)$$

در روابط (۱-۲) و (۲-۲)، ضرایب K_I و K_{II} را به ترتیب، فاکتور شدت تنش در مود اول و مود دوم باز شده گی سطوح ترک گویند و تعیین میدان تنش در مجاورت رأس ترک، به تعیین این ضرایب تقلیل می‌یابد. برای یک صفحه با عرض بی‌نهایت (شکل ۱) که امکان حل تحلیلی برای آن وجود دارد، این ضرایب برابر هستند با [۴]:

$$K_I = \sigma(\pi a)^{1/2} \sin^2\beta \quad K_{II} = \sigma(\pi a)^{1/2} \sin\beta \cos\beta \quad (۴-۲)$$

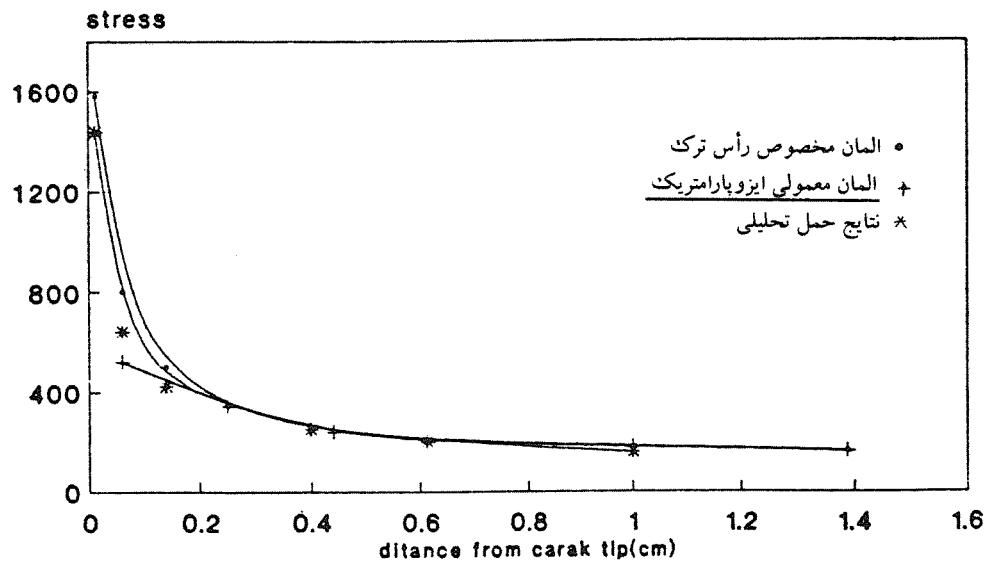
که σ تنش خارجی اعمال شده به جسم و a نصف طول ترک و β زاویه بین محور بار و محور ترک می‌باشد و در شکل ۳ نشان داده شده است.



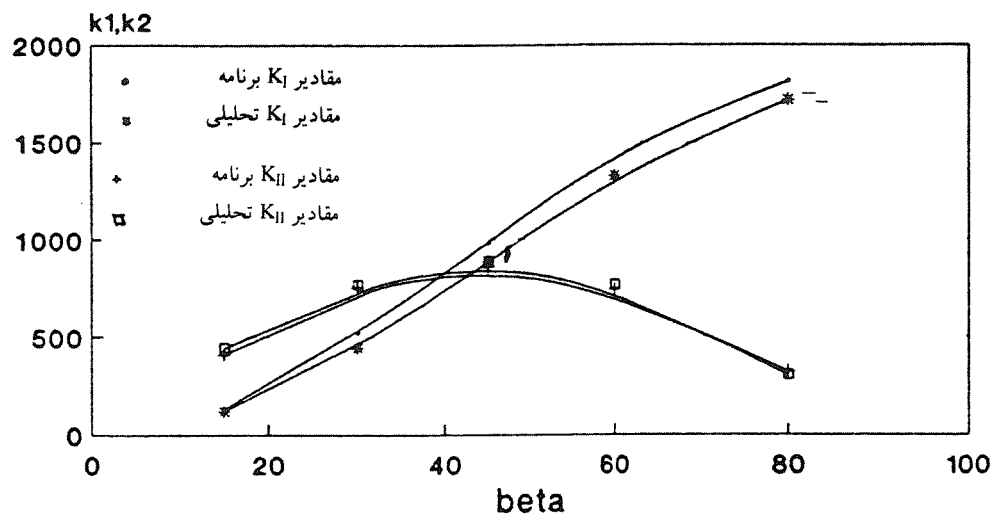
شکل ۳ ترک مورب تحت بارکشی که جهت β را نیز نشان می‌دهد

برای حالت‌های کلی تر، جهت تعیین فاکتور شدت تنش، همانطور که در مقدمه ذکر گردید، از روش‌های عددی نظریه المانهای محدود و المان مخصوص رأس ترک باید استفاده نمود.

المان مخصوص رأس ترک که اولین بار توسط بار سوم [۲] معرفی گردید و در شکل ۴ نشان داده است، همان المان ایزوپارامتریک ۸ گره‌ای است که گره‌های میانی مجاور به رأس



شکل ۵ مقایسه توزیع تنش حاصل از المان مخصوص رأس ترک، المان معمولی ایزوپارامتریک و نتایج تحلیلی



شکل ۶ مقایسه فاکتور شدت تنش حاصل از برنامه مرجع [۱] با نتایج حل تحلیلی

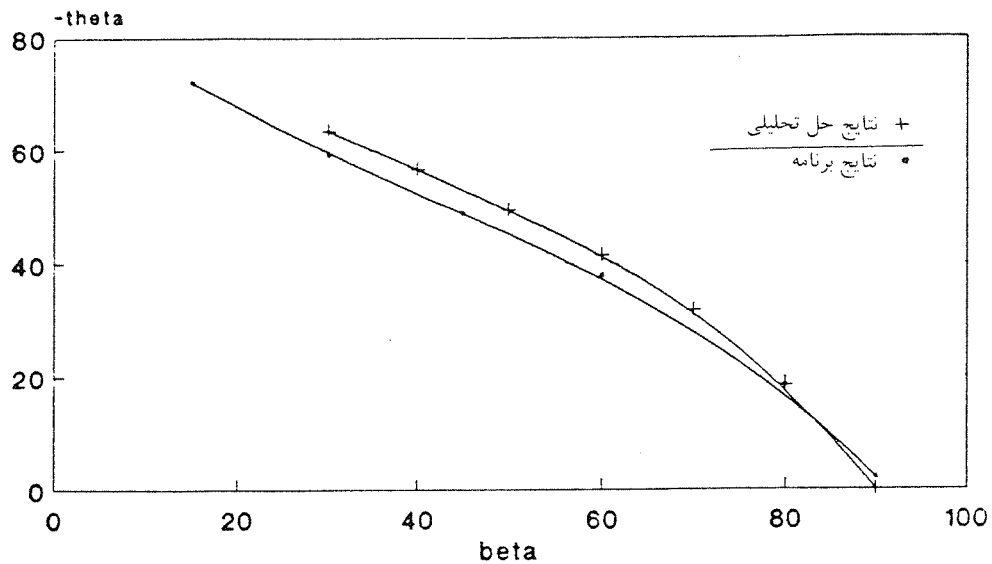
شکست مینیمم دانسیته انرژی کرنشی که در بخش ۳ بیان شد می‌توان به دست آورد. شکل ریاضی قضیه دوم این تئوری در فضای دو بعدی به صورت زیر خواهد بود.

$$\frac{\partial s}{\partial \theta} = 0 \quad \text{and} \quad \frac{\partial^2 s}{\partial \theta^2} > 0 \quad (1-3)$$

بعد از تعیین فاکتور شدت تنش که بیانگر میدان تنش در مجاورت رأس ترک می‌باشد. فاکتور دانسیته انرژی کرنشی

می‌باشد زیرا نتایج تحلیلی برای صفحه‌ای با عرض بی‌نهایت به دست آمده است در حالی که نتایج برنامه برای صفحه‌ای با عرض ۵/۳ برابر طول ترک می‌باشد. اگر محدودیت عرض، در نتایج حل تئوریک اثر داده شود مقدار بزرگتری حداقل برای K₁ به دست خواهد آمد که این موضع سبب کاهش اختلاف می‌گردد.

۳-زاویه گسترش توک زاویه گسترش ترک را با استفاده از قضایای اساسی، ضابطه



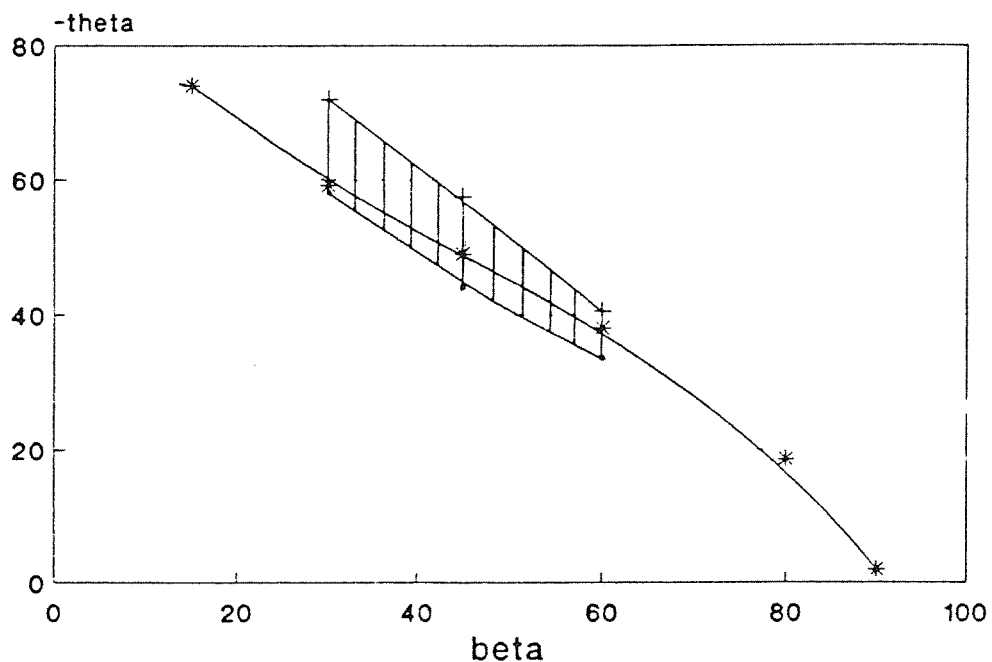
شکل ۷ مقایسه نتایج زاویه‌گسترش ترک حاصل از برنامه مرجع [۱] با نتایج حل تحلیلی

شکل مشخص است این نتایج تطابق بسیار خوبی با یکدیگر دارند. نتایج تئوریک زاویه‌گسترش ترک با جایگزین نمودن رابطه تئوریک فاکتور شدت تنش (رابطه ۴-۲) در معادله (۲-۲) و استفاده از رابطه (۳-۱) بدست آمده است.

شکل ۸ تا ۱۰ ، نتایج برنامه را با نتایج آزمایشات متعددی که

مطابق رابطه (۲-۲) بر حسب زاریه ۰ می‌توان به دست آورد. سپس به کمک رابطه (۱-۳) زاویه‌گسترش را می‌توان تعیین نمود.

شکل ۷ نتایج زاویه‌گسترش ترک حاصل از برنامه را با نتایج تئوریک، برای زوایای مختلف / مقایسه می‌کند. همانطور که از



شکل ۸ مقایسه نتایج زاویه‌گسترش ترک حاصل از برنامه مرجع [۱] با نتایج آزمایش روی آلیاژ آلومینیم

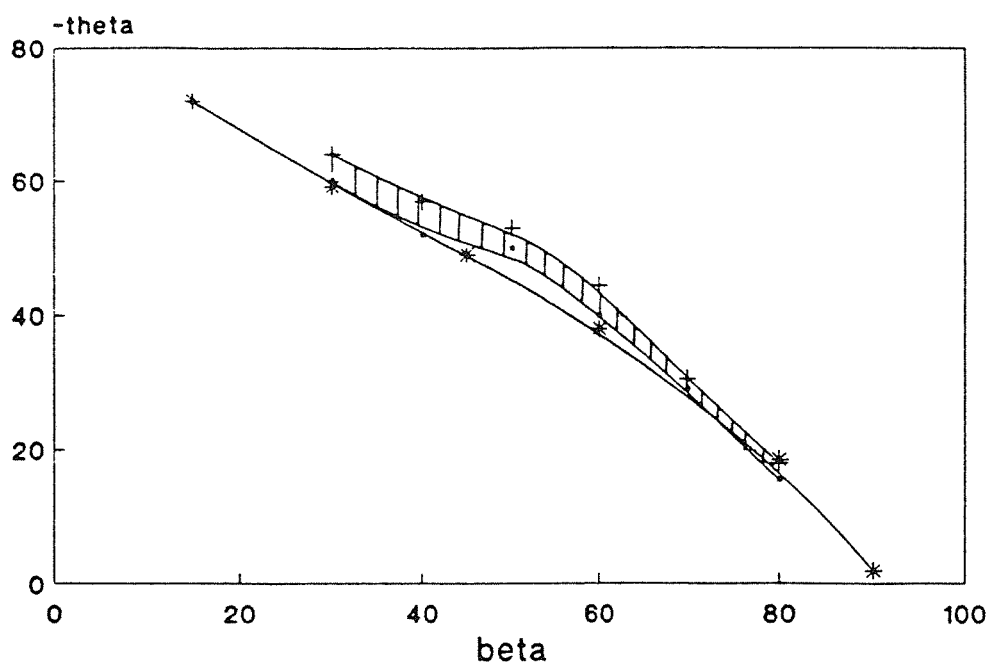
۴ - مسیر گسترش ترک

در این بخش به بحث پرامون مسیر گسترش ترک، برای ترکهای پایدار که بعد از شروع به گسترش تا شکست نهایی پیشرفت نمی‌کنند می‌پردازیم. این حالت، عموماً تحت بار متاوب که ترک تحت تنشی به مراتب کمتر از بار بحرانی در حالت بارهای استاگترش می‌باشد اتفاق می‌افتد که این پدیده را خستگی می‌نامند. برای تعیین مسیر گسترش ترک با استفاده از برنامه به صورت قدم به قدم باید عمل نمود بین صورت که در هر مرحله، افزایش جزئی در ترک، تحت زاویه بدست آمده باید ایجاد گردد. سپس ترک قبلی با این افزایش، به یک ترک با مشخصات جدید تبدیل می‌گردد که با آآلایز آن، زاویه جدیدی برای ترک بدست می‌آید. این عمل تا رسیدن ترک به یک ترک ناپایدار ادامه می‌پابد. در نهایت با اتصال رئوس ترک در مراحل مختلف، مسیر گسترش ترک به دست می‌آید.

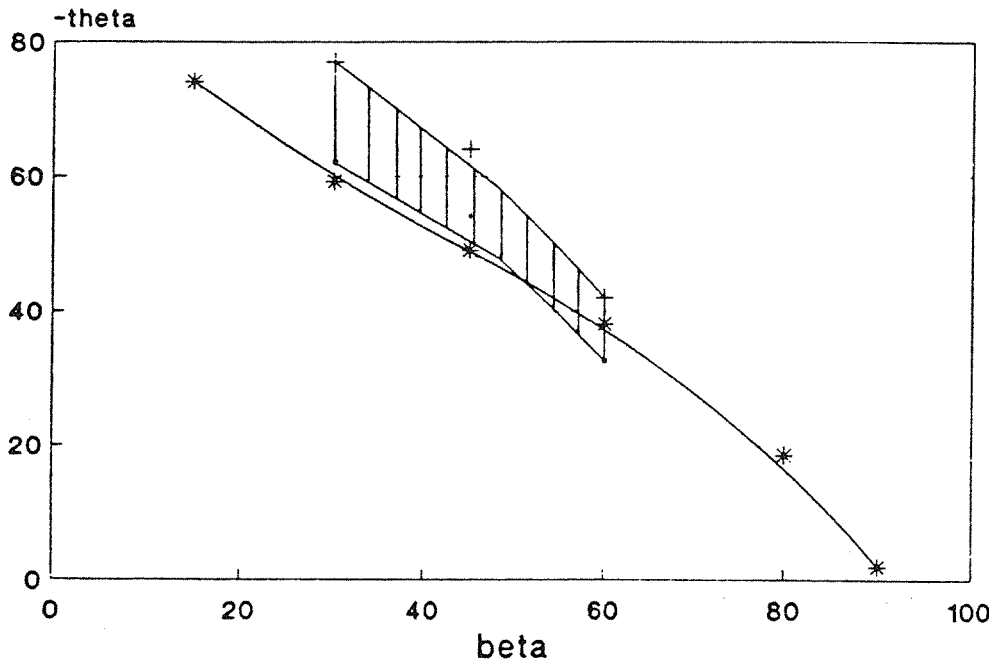
شکل ۱۱ المان بنده یک مرحله از رشد و شکل ۱۲ مسیر گسترش ترکی که با استفاده از برنامه بدست آمده است را نشان می‌دهد. شکل ۱۳ همین پارامتر را که در اثر آزمایشهای متعدد روی مصالح مختلف تعیین شده است [۳] بازگو می‌نماید. با مقایسه این دو شکل می‌توان نتیجه گرفت که روند تغییرات هر دو منحنی یکسان است و برنامه می‌تواند این پارامتر را نیز با دقت خوبی بیان نماید.

روی پلی‌گلاس، آلیاژ آلومینیم و نوع خاصی از فولاد انجام شد و در دسترس است [۳] مقایسه می‌کند. شکل ۸ نشان می‌دهد که نتایج برنامه با حد پایین نتایج آزمایش مطابق است ولی از آنجائی که دامنه تغییرات نتایج آزمایش روی این نمونه، کم می‌باشد، اختلاف نتایج حاصل از برنامه با حد بالای آن نیز زیاد نیست و می‌توان گفت برنامه موجود به خوبی توانسته است نتایج این آزمایش را پیش‌بینی نماید. شکل ۹ که نتایج حاصل از برنامه را با نتایج آزمایش روی آلیاژ آلومینیم مقایسه می‌کند نشان می‌دهد که برنامه توانسته است نتایج آزمایش را با دقت بسیار بالایی بازگو نماید. شکل ۱۰ نشان می‌دهد که نتایج برنامه با نتایج آزمایش در محدوده $60 < \beta < 30$ با حد پایین نتایج آزمایش مطابق است اما با توجه به روند تغییرات نتایج آزمایش و بافرض اینکه این روند برای زوایایی بزرگتر از 60° نیز ثابت باقی بماند، می‌توان گفت که نتایج برنامه با دقت خوبی می‌تواند زاویه گسترش ترک را برای $60 < \beta < 30$ پیش‌بینی نماید.

نتیجه دیگری که از این منحنیها می‌توان گرفت این است که ضابطه شکست مینیمم دانسته از ریزی کرنشی با دقت خوبی می‌تواند نتایج آزمایش را بیان نماید. زیرا برنامه‌ای که نتایج آن در این مقاله مورد بحث قرار می‌گیرد براساس این تئوری نوشته شده است.



شکل ۹ مقایسه زاویه گسترش ترک حاصل از برنامه مرجع [۱] با نتایج آزمایش روی پلی‌گلاس



شکل ۱۰ مقایسه نتایج زاویه گسترش ترک حاصل از برنامه مرجع [۱] با نتایج آزمایش روی نوع خاصی از فولاد

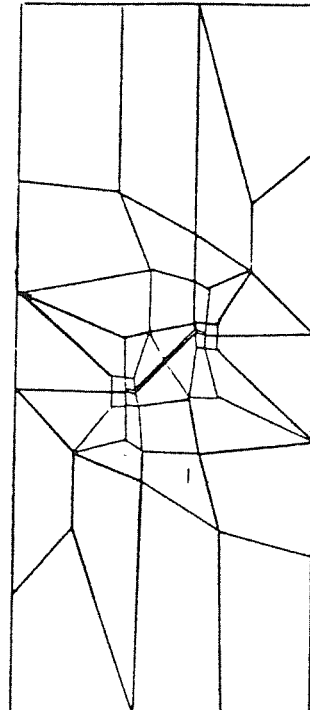
۵- نسبت رشد ترک در سیکل

در بررسی مسئله گسترش ترک تحت بار متناوب، پارامتر قابل اندازه گیری دیگری که در طراحی از اهمیت خاصی برخوردار است مطرح می گردد و آن تعیین نسبت رشد ترک در سیکل می باشد. روابطی که برای این پارامتر، پیشنهاد شده است عموماً براساس آزمایشات متعددی که روی مصالح مختلف صورت گرفته، به دست آمد. شکل کلی این رابطه به رابطه پاریس مشهور است و به صورت زیر بیان می شود. [۴]

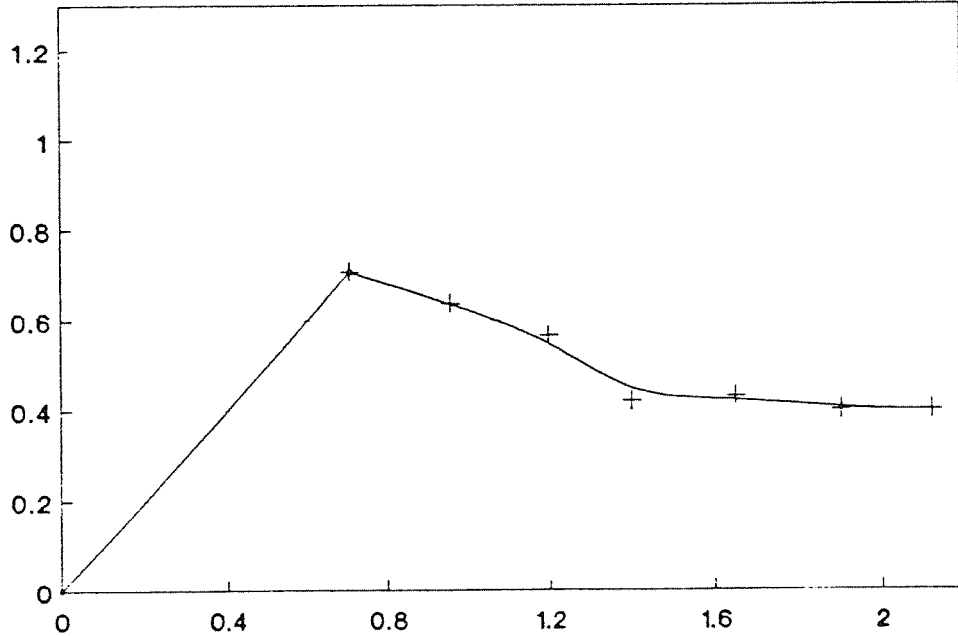
$$\frac{da}{dN} = C (\Delta K)^m \quad (1-5)$$

در این رابطه a نصف طول ترک و N تعداد سیکلهای بارگذاری و C و m ثابت‌های مصالح می باشند که در اثر آزمایش به دست می آیند. البته رابطه فوق ساده‌ترین فرم رابطه رشد ترک بوده و برای محدوده معینی از مقادیر ΔK ، تحت بارگذاری متناوب با دامنه ثابت معتبر است.

رابطه (۱-۵) برای مود اول بازشدگی سطوح ترک به دست آمده است. برای مود ترکیبی که مقادیر K_I و K_{II} هر دو مخالف صفر هستند به جای ΔK ، معادلی تعریف می گردد که این کار نیز براساس آزمایش متعدد و بررسی نتایج آن انجام می شود. یکی از روابطی که برای K_{equ} پیشنهاد شده است به شرح زیر



شکل ۱۱ یک مرحله از رشد ترک والمان بندی صفحه که جهت آنالیز آن با برنامه مرجع [۱] مورد استفاده قرار گرفت



شکل ۱۲ مسیرگسترش ترک که از برنامه مرجع [۱] به دست آمده است

نرديکي دارد. همچنین از زين شكل می توان نتیجه گرفت که رابطه $(۱-۵)$ با ΔK معادل (رابطه $۲-۵$) ، همگنی بهتری با نتایج آزمایش دارد. نتایج شکل ۱۵ با ضرایب c و m زیر بدست آمده است.

$$\frac{da}{dN} = 1.641 \times 10^{-13} (\Delta(K_I^4 + 8K_{II}^4)^{1/4})^{3/97} \quad (۴-۵)$$

$$\frac{da}{dN} = 5.107 \times 10^{-10} \left(\frac{4\pi\mu}{1-2\nu} \times \Delta S \right)^{2/07} \quad (۵-۵)$$

۶- نتیجه گيري

با توجه به مباحثي که گذشت و نتایجي که به دست آمد، موارد زير را می توان استنتاج نمود:

۱- المان مخصوص رأس ترک در مقایسه با المان معمولی ايزوپارامتريک، قابلیت بسيار بالاتری در نمایش ميدان تش در مجاورت رأس ترک دارد.

۲- نتایج برنامه حاضر که با استفاده از روش اجزاء محدود والمان مخصوص رأس ترک به آناليز الاستيک جسم می پردازد و با كمک ضابطه شکست مينيمم دانسيته انرژي کرنشي، پارامترهای شکست را به دست می آورد، تطابق خوبی با نتایج تئوريک دارد.

۳- ضابطه شکست مينيمم دانسيته انرژي کرنشي، با دقت خوبی می تواند نتایج آزمایش برای زاويه گسترش ترک و مسیر گسترش ترک را پيش بیني نماید.

۴- جهت گسترش ترک، مستقل از اندازه ترک و تنش اعمال

مي باشد. [۴]

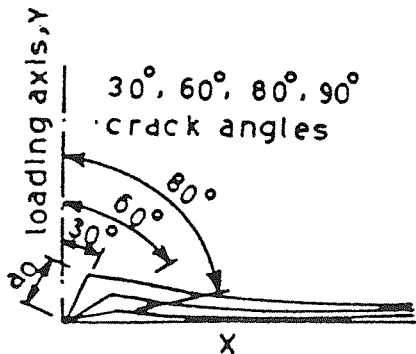
$$K_{equ.} = (K_I^4 + 8K_{II}^4)^{1/4} \quad (۲-۵)$$

رابطه ديگري براساس مفهوم دانسيته انرژي کرنشي برای نسبت رشد ترک $\frac{da}{dN}$ پيشنهاد شده است که شكل كلی آن همان معادله پاريس مي باشد و با رابطه زير بيان مي شود.

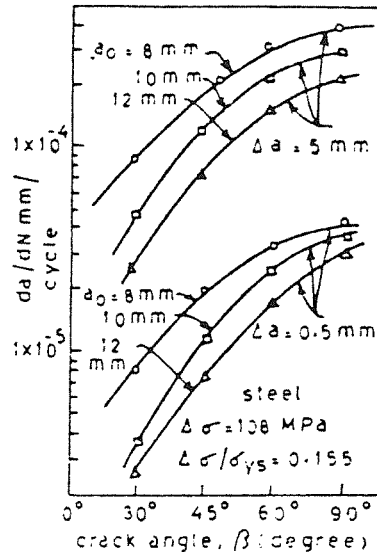
$$\frac{da}{dN} = C \left(\frac{4\pi\mu}{1-2\nu} \Delta S \right)^{m/2} \quad (۳-۵)$$

در رابطه $(۳-۵)$ عليرغم اينكه ضرائب ثابت با c و m نشان داده شده اند ولی لزوماً همان مقادير c و m رابطه $(۱-۵)$ نمي باشنند.

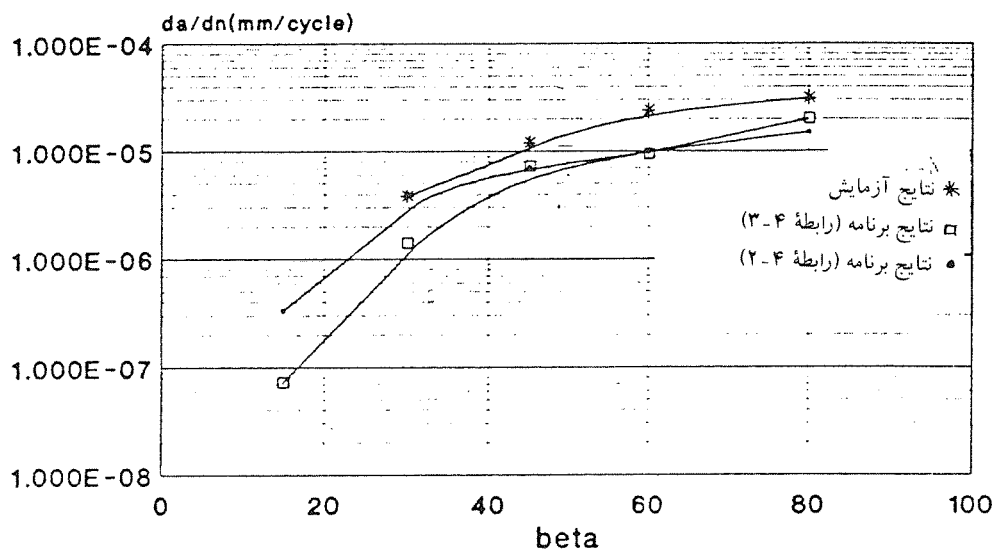
در اين مقاله، نتایج بدست آمده از دو رابطه فوق با نتایج آزمایش مقایسه مي گردد. لازم به ذكر است با توجه به اينكه، روابط فوق براساس نتایج آزمایش پيشنهاد شده است و با توجه به نحوه اندازه گيري $\frac{da}{dN}$ در آزمایش، نمي توان انتظار داشت که نتایج تئوريک تطابق بسيار نرديکي با نتایج آزمایش داشته باشد. زيرا همانطور که از شکل ۱۴ مشخص است نتایج آزمایش $\frac{da}{dN}$ که در اثر افزایش $\Delta a = 5mm$ و $\Delta a = 0 / 5mm$ در يك آزمایش واحد اندازه گيري شده است اختلاف فاحشي با يكديگر دارند. شکل ۱۵ نشان مي دهد که نتایج برنامه با نتایج آزمایش که در اثر $\Delta a = 0 / 5mm$ به دست آمده است، مطابقت



شکل ۱۴ نسبت رشد ترک در سیکل که در اثر آزمایش روی مصالح مختلف و تحت زوایای مختلف به دست آمده است



شکل ۱۳ مسیر گسترش ترک که در اثر آزمایش روی مصالح مختلف و تحت زوایای مختلف β به دست آمده است



شکل ۱۵ مقایسه نسبت رشد ترک در سیکل حاصله از برنامه مرجع [۱] با نتایج آزمایش

با استفاده از برنامه موجود و به صورت قدم بقدم می‌توان مسیر گسترش ترک، ترک بحرانی و تعداد سیکلهای بارگذاری برای رسیدن به این ترک (عمر خستگی) را محاسبه نمود.

شده به جسم می‌باشد و همیشه به سمتی حرکت می‌کند که تنها مود اول بازشدنگی سطوح ترک حاکم باشد.
۵- چنانچه، پارامترهای مصالح در روابط پاریس در دست باشد

مراجع :

-
- 1 - پیش‌بینی مسیرگشترش ترک در سازه‌های دوبعدی با استفاده از روش اجزاء محدود، مهندس جواد واثقی امیری پایان‌نامه، دانشگاه تربیت مدرس، ۱۳۷۰.
 - 2 - Barsoum R.S., "on the use of Isoparametric Finite Elements In linear Fracture Mechanics". *Int.J.Num. Meth.Engng.* Vol. 10, (1976), 25 - 37.
 - 3 - Chinadurai R.Pandey R.K. and Jeshi B.K., "Fracture Mode loading", *Adv. Frac. Res.*, Vol.3, (1984), 1703 - 1711.
 - 4 - Parker A.P. "The Mechanics of Fracture And Fatigue", London New York E. and F.N. SPONLTD, 1981.
 - 5 - Pook l.p.and smith R.A., "Theoretical Background to Elastic Fracture Mechanics", *Fracture Mechanics*, (1979), 24-66.
 - 6 - Sih, G.C., Energy- density concept in fracture mechanics, *Engineering Fracture Mechanics*, 5, PP, 1037 - 1040 (1973).
 - 7 - Sih., G.C., *A Special theory of crack propagation : methods of analysis and solutions of crack problems*, *Mechanics of Fracture 1*, edited by G.C. sih, Noordhoff International publishing, Leyden, pp. XXI - XLV (1973).